УДК 542.943+662.753

# ПОЛУЧЕНИЕ НЕФТЯНЫХ КИСЛОТ ОКИСЛЕНИЕМ ДЕАРОМАТИЗИРОВАННОГО МАСЛЯНОГО ДИСТИЛЛЯТА

© 2024 г. В. М. Аббасов<sup>1</sup>, Л. М. Эфендиева<sup>1</sup>, Г. Г. Насибова<sup>1,\*</sup>, Н. М. Алиева<sup>1</sup>, С. Ф. Ахмедбекова<sup>1</sup>, Ю. П. Черепнова<sup>1</sup>, Ш. Р. Мамедова<sup>1</sup>, А. С. Лядов<sup>2,\*\*</sup>

<sup>1</sup>Институт нефтехимических процессов им. Ю.Г. Мамедалиева, Министерство науки и образования Азербайджанской Республики, пр. Ходжалы 30, Баку, AZ 1025 Азербайджан <sup>2</sup>Институт нефтехимического синтеза им. А.В. Топчиева РАН, Москва, 119991 Россия E-mail: \*nasibovag@inbox.ru, \*\*lyadov@ips.ac.ru

> Поступила в редакцию 1.03.2024 После доработки 28.11.2024 Принята к публикации 4.12.2024

В работе представлены результаты исследования жидкофазного окисления деароматизированного масляного дистиллята, выделенного из смеси азербайджанских нефтей в присутствии гомогенных катализаторов на основе бромбензоатов Mn(II), Cr(III) и Co(II). Показано, что данные катализаторы позволяют с высоким выходом (более 40 мас.%) получать синтетические нефтяные кислоты и гидроксикислоты. Установлено влияние природы катализаторов на состав образующихся продуктов окисления. Наибольшую каталитическую активность проявил бромбензоат Mn(II), для которого были определены оптимальные условия проведения процесса: длительность окисления при скорости подачи сырья 300 л/кг·ч и атмосферном давлении составляет 5 ч, концентрация катализатора 1 мас.%, температура 140°С. При таких условиях суммарный выход нефтяных кислот составил 46%.

Ключевые слова: нефтяные кислоты и гидроксикислоты; аэробное окисление; катализаторы окисления

DOI: 10.56304/S2414215824020035; EDN: HOXIBF

Окисление углеводородов (УВ) — сложный процесс получения ценных кислородсодержащих продуктов: гидропероксидов, спиртов, кетонов, альдегидов, эфиров, карбоновых кислот. Данные вещества широко применяются как в виде самостоятельных товарных продуктов, так, в качестве сырья для процессов нефтехимического синтеза [1–4]. Жидкофазное окисление УВ обладает целым рядом преимуществ по сравнению с газофазными процессами — высокая селективность в отношении целевых продуктов, безопасность эксплуатации, более низкие капитальные и операционные затраты и др. [5, 6].

Нефтяные кислоты, представляющие собой смесь алифатических и нафтеновых кислот, и их производные, используют в различных отраслях промышленности в качестве ингибиторов коррозии, пластификаторов, сиккативов, эмульгаторов, бактерицидов и т. д. [7, 8]. Добываемые нефти обычно содержат небольшое количество нефтяных кислот (не более 3%), а наличие в выделяемых кислотах алкилфенолов затрудняет их дальнейшее использование.

По этой причине получение аналогов природных нефтяных кислот синтетическим путем привлекает внимание исследователей.

Окисление определенных фракций нефти в присутствии подходящих каталитических систем позволяет получать синтетические нефтяные кислоты и гидроксикислоты. Такой подход для их получения является экологически и экономически выгодным, что подтверждается большим количеством работ в этой области [9–13].

В качестве гомогенных катализаторов окисления применение находят различные соединения *d*-металлов [14–16]. Жидкофазное окисление УВ воздухом, в частности, *n*-ксилола, кумола, этилбензола/изобутана, циклогексана и *н*-бутана, имеет промышленное значение. Для этих процессов используют в качестве катализаторов растворимые в сырье соли металлов (Со, Мп и др.). С целью увеличения активности катализатора в реакционную систему добавляют компоненты, содержащие бром (бромид-ионы) [17]. В качестве примера можно привести промышленный процесс получения фталевого

112 АББАСОВ В. М. и др.

ангидрида жидкофазным окислением o-ксилола воздухом в присутствии ацетатов или нафтенатов Co, Mn или Mo, дополнительно содержащих органические соединения брома. Окисление ведут при температуре  $150^{\circ}C$ ; селективность в отношении фталевой кислоты достигает 90%, что значительно превышает селективность, которая достигается при газофазном окислении o-ксилола в присутствии гетерогенных катализаторов на основе  $V_2O_5$  [18].

Поиск каталитически активных соединений в процессах жидкофазного окисления УВ, содержащих одновременно ионы металлов и бром, привлекает внимание исследователей, так как позволяет избежать применения бромсодержащих сокатализаторов.

Таким образом, цель настоящего исследования заключается в изучении особенностей окисления деароматизированного масляного дистиллята, выделенного из смеси азербайджанских нефтей, в присутствии бромбензоатов металлов (Мп, Со и Сг) и определение оптимальных условий получения синтетических нефтяных кислот.

#### ЭКСПЕРИМЕНТАЛЬНАЯ ЧАСТЬ

В качестве субстрата для исследования процесса окисления был выбран дистиллят, выделенный из смеси азербайджанских нефтей на нефтеперерабатывающем заводе имени Г. Алиева, который приме-

няется для получения товарного трансформаторного масла Т-1500. Перед окислением дистиллят подвергали деароматизации четырехкратной обработкой концентрированной серной кислотой. Удаление ароматических компонентов из дистиллята косвенно подтверждается увеличением содержания водорода в деароматизированном дистилляте (табл. 1). Содержание ароматических компонентов также контролировали методом <sup>1</sup>Н ЯМР. Установлено, что после обработки серной кислотой дистиллят содержал следы ароматических соединений. В табл. 1 приведены физико-химические характеристики исходного дистиллята и дистиллята после сернокислотной обработки.

В качестве катализаторов для процесса жидкофазного окисления, были использованы бромбензоаты Mn(II), Co(II) и Cr(III), которые синтезировали следующим образом. В колбу помещали рассчитанные количества бромбензойной кислоты (97%, Sigma Aldrich), добавляли 20%-ный водный раствор гидроксида калия (90%, Sigma Aldrich) и перемешивали полученную смесь в течение 10–15 мин. Затем готовили 10%-ные водные растворы солей металлов: MnSO<sub>4</sub>·5H<sub>2</sub>O (99%, Sigma Aldrich), Cr(NO<sub>3</sub>)<sub>3</sub>·9H<sub>2</sub>O (99%, Sigma Aldrich), Co(NO<sub>3</sub>)<sub>2</sub>·6H<sub>2</sub>O (98%, Sigma Aldrich). Полученные растворы в стехиометрических количествах добавляли к раствору бромбензоата калия при температуре 60–80°C и перемешивали в течение 40 мин. Полученные бромбензоаты Mn,

Таблица 1. Физико-химические характеристики используемого сырья

Показатель	Исходный дистиллят	Дистиллят после деароматизации	
Описание	Очищенная фракция нефти, кипящая в температурном интервале 300–400°C	Деароматизированный исходный дистиллят	
Кинематическая вязкость при $20^{\circ}C$ , $mm^2/c$	22.66	22.25	
Плотность при $20^{\circ}$ С, г/см <sup>3</sup>	0.884	0.869	
Температура застывания, °С	-58	<b>-55</b>	
Коэффициент преломления при 20°C	1.4881	1.4772	
Температура вспышки, °С	130	141	
Спектр <sup>1</sup> Н ЯМР, м.д.	$0.73$ – $0.95$ (CH <sub>3</sub> ); $1.16$ (CH <sub>2</sub> ), $1.53$ – $2.00$ (CH, CH <sub>2</sub> — нафтены), $2.1$ – $2.65$ (по отношению к ароматике $\alpha$ -CH <sub>2</sub> ), $6.50$ – $7.80$ (ароматика)	$0.72$ – $0.96$ (CH <sub>3</sub> ), $1.16$ (CH <sub>2</sub> ), $1.50$ – $2.00$ (CH, CH <sub>2</sub> — нафтены), $2.1$ – $2.60$ (по отношению к ароматике $\alpha$ -CH <sub>2</sub> , следы), $6.50$ – $7.00$ (ароматика, следы)	
ИК-спектр, см <sup>-1</sup>	1457, 1376 ср (СН), 1032, 963 о сл (СН), 812, 744 сл (СН)	2951, 2920, 2853 c (CH); δ, см <sup>-1</sup> : 1458, 1376, 722 cp (CH), 963 о сл (CH)	
Содержание, мас. %			
C	89.8	85.2	
Н	10.09	14.77	
S	0.11	0.03	

Со и Cr высушивали на воздухе при 100°C в течение нескольких часов.

Жидкофазное окисление в присутствии синтезированных катализаторов изучали на установке барботажного типа при скорости подачи окислителя (воздуха) 300 л/кг·ч. Каталитические эксперименты проводили при температуре 130–140°С, концентрацию катализатора варьировали в диапазоне 0.3–1.5 мас.%, длительность окисления составляла от 1 до 7 ч.

Так как в процессе окисления образуются не только синтетические нефтяные кислоты (СНК), но и ряд других продуктов: альдегиды, кетоны, спирты, синтетические нефтяные оксикислоты (СНОК) и др., то для выделения кислот и гидроксикислот из получаемых оксидатов была использована следующая методика. Полученный оксидат помещали в емкость (снабженную механической мешалкой), добавляли растворитель (изооктан) в соотношении 1:3 и перемешивали в течение 30 мин. После отстаивания данной смеси образовывалось два слоя: верхний, содержащий нефтяные кислоты и непрореагировавший субстрат, и нижний, содержащий оксикислоты. Нижний слой отделяли, высушивали и взвешивали. Верхний слой помещали в колбу и дополнительно добавляли 20%-ный водный раствор щелочи и 30 мин перемешивали при температуре 80-90°C. Полученная смесь состояла из двух слоев: углеводородного и водного, содержащего соли нефтяных кислот. К водному слою добавляли 40%-ный раствор серной кислоты для выделения нефтяных кислот, которые отделяли, высушивали и взвешивали. Таким образом, для всех каталитических экспериментов определяли выход синтетических нефтяных кислот и гидроксикислот, а также их сумму.

Спектры <sup>1</sup>H-ЯМР регистрировали на спектрометре MAGRITEK при частоте 61.74 МГц. В качестве растворителя использовали дейтерированный ацетон. ИК-спектры на спектрометре Фурье модели «ALPHA» (Bruker, Германия) в комплекте с приставкой нарушенного полного внутреннего отражения с призмой алмаз, предназначенной для анализа твердых, жидких, порошкообразных и вязких образцов в диапазоне сканирования 4000-400 см $^{-1}$ . Элементный анализ выполнен на анализаторе TrusPec Micro, LECO (США). Кинематическая вязкость определена на приборе Stabinger SVM, плотность — на приборе DMA 4500M, коэффициенты преломления на приборе Abbemat 500. Температуры замерзания и вспышки определены по ГОСТ 20287-91 и ГОСТ 4333-87 соответственно. Кислотное число продуктов окисления определяли в соответствии с ГОСТ 5985-79. Термические исследования проводили на синхронном термоанализаторе STA-449

(«JupiterF3» фирмы NETZSCH, Германия) в интервале 23–850°С при скорости повышения температуры 10°С/мин в потоке азота.

# РЕЗУЛЬТАТЫ И ИХ ОБСУЖДЕНИЕ

Все три исследованных катализатора проявили активность в процессе окисления деароматизированного дистиллята, о чем свидетельствовало повышение кислотности оксидата: кислотное число исходного субстрата не превышало 0/05 мг КОН/г, а для окисленного продукта данный показатель составлял 30–40 мгКОН/г.

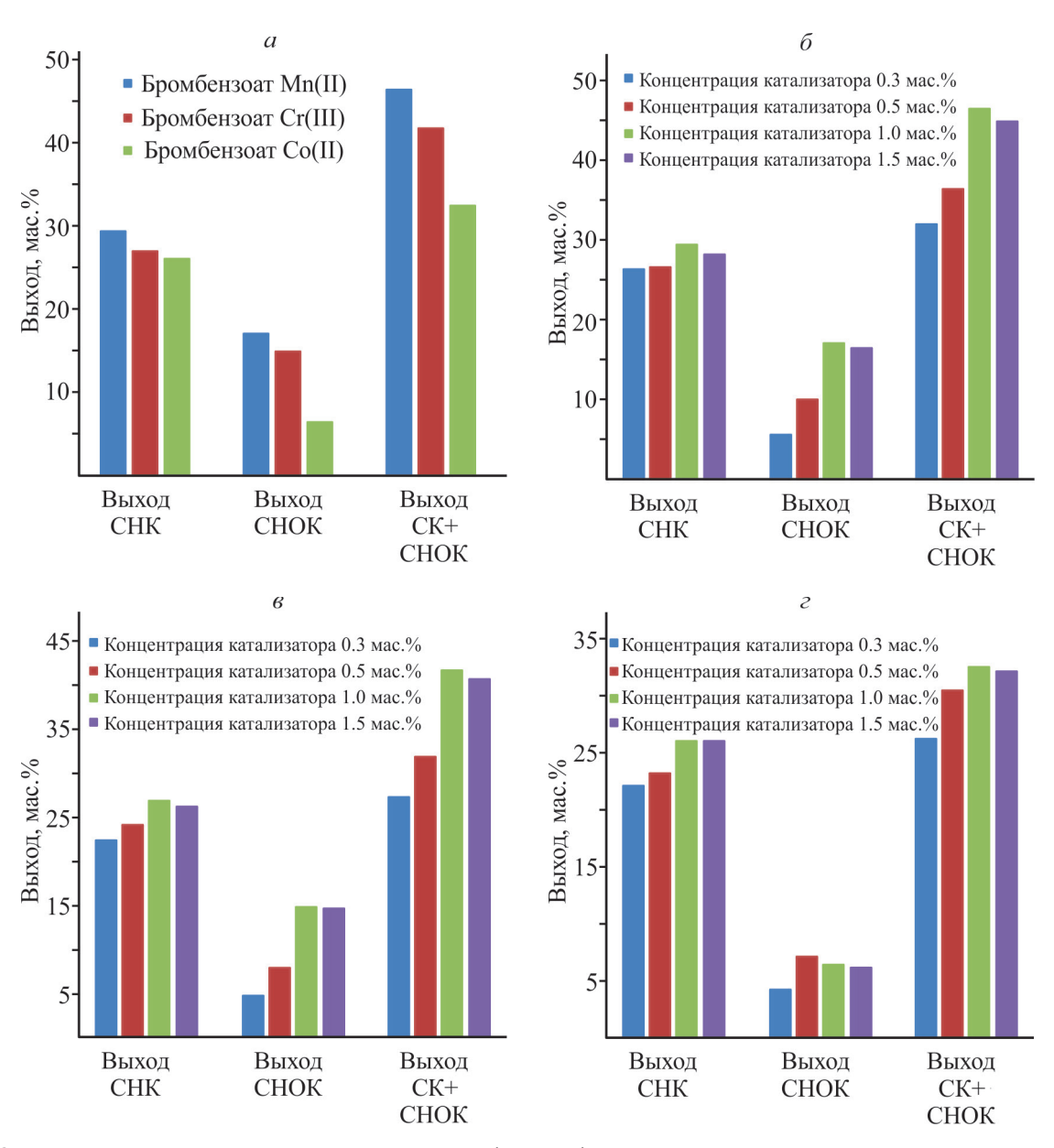
Бромбензоат Мn(II) позволяет получать нефтяные кислоты с наибольшим выходом, так при концентрации катализатора 1.0 мас.% выход снтетическиз нефтяных кислот (СНК) равен 30% (рис. 1, а). Данный катализатор проявляет наибольшую активность и в отношении образования гидроксикислот (СНОК), выход которых составлял 17%. В присутствии бромбензоатов Сг и Со достигаются сопоставимые выходы СНК на уровне 26–27%, однако, бромбензоат Со в меньшей степени катализирует образование СНОК, выход которых не превышал 7%.

На рис. 1,  $\delta$ —г показано влияние концентрации катализатора в реакционной системе на выход кислот в присутствии исследуемых каталитических систем. С увеличением концентрации катализатора вплоть до 1 мас.% в присутствии всех катализаторов происходит рост количества нефтяных кислот в оксидате. Дальнейшее увеличение концентрации катализатора негативно влияет на выход продуктов окисления и их выход снижается. Данная закономерность объясняется тем, что при достижении определенной концентрации катализатор начинает проявлять ингибирующее действие, которое тормозит процесс окисления.

С целью определения оптимальных условий получения нефтяных кислот в присутствии наиболее активного катализатора бромбензоата Мп было изучено действие температуры и времени процесса на выход нефтяных кислот и гидроксикислот (табл. 2).

Увеличение продолжительности окисления приводит к росту кислотного числа оксидата, значение которого достигает плато через 5 ч. Максимальное количество нефтяных кислот также образуется через 5 ч; дальнейшее увеличение времени окисления приводит к тому, что часть нефтяных кислот переокисляется с образованием нефтяных гидроксикислот, о чем свидетельствует рост выхода СНОК через 6 и 7 ч. При 140°С достигается максимальный выход СНК; дальнейшее повышение температуры вызывает окислительное расщепление компонентов реакционной среды, в результате чего увеличивается

114 АББАСОВ В. М. и др.



**Рис. 1.** Зависимость выхода продуктов окисления нефтяной фракции от природы и концентрации катализаторов (условия реакции — 140°C, 5 ч): a — влияние природы катализатора (концентрация 1 мас.%); влияние концентрации катализатора:  $\sigma$  — бромбензоат Mn(II),  $\sigma$  — бромбензоат Cr(III),  $\sigma$  — бромбензоат Co(II).

образование нежелательных водорастворимых веществ, что затрудняет процесс выделения нефтяных кислот.

Была изучена термическая устойчивость бромбензоата Mn(II), термограмма его разложения приведена на рис. 2. Показано, что до температуры 360°C образец не подвергается химическим превращениям, что позволяет его использовать в качестве катализатора в процессе окисления при исследуемых температурах.

Действие катализаторов в гомогенном процессе окисления можно объяснить тем, что компоненты каталитической системы претерпевают сложные

физико-химические превращения. Наличие в каталитической системе металлов с переменной валентностью приводит к образованию свободных радикалов или атомов, способствующих ускорению реакции окисления:

$$M^{2+}+A:B\to M^{3+}+A^{ullet}+B^-$$
 (или  $A^-+B^{ullet}$ ) (A:В — нафтено-парафиновые УВ).

При введении бромид-ионов в реакционную систему появляется новый маршрут окисления УВ с участием атомов брома, образующихся в окисли-

HORSONTERE I	Кислотное число оксидата,	Выход кислот, %		Выход
	мгКОН/г	СНК	СНОК	СНК + СНОК, %
	Продолжи	тельность процесса	, 140°C	
1 ч	5	1.5	следы	1.5
2 ч	18.50	3.8	1.2	5.0
3 ч	25.48	12.6	6.4	19.0
4 ч	32.81	18.3	12.2	30.5
5 ч	45.24	29.4	17.0	46.4
6 ч	46.15	27.3	19.4	46.7
7 ч	46.42	25.2	20.6	45.8
	Температура проц	цесса, длительность	окисления 5 ч	
130°C	_	24.2	6.2	30.4
140°C	_	29.4	17.0	46.4

19.4

22.7

42.1

**Таблица 2.** Окисление деароматизированного дистиллята в присутствии бромбензоата Mn(II) в зависимости от температуры процесса и его продолжительности (концентрация катализатора 1 мас.%)

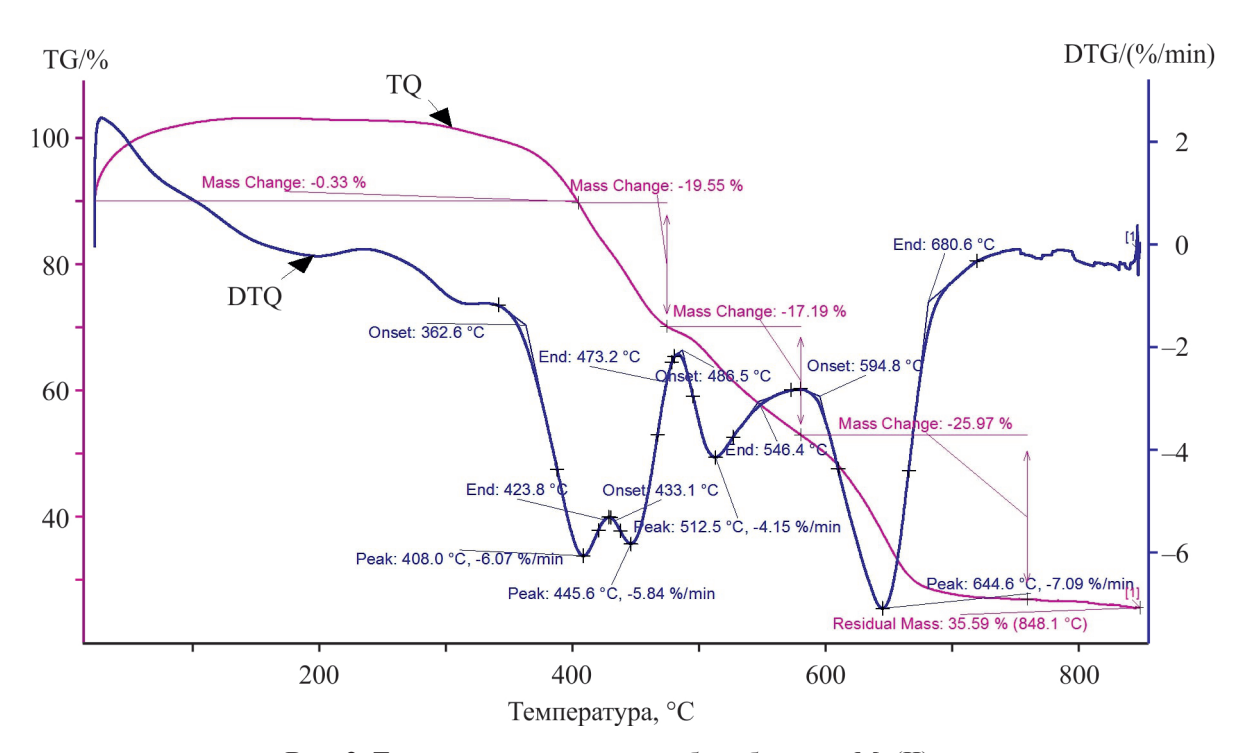


Рис. 2. Термограмма разложения бромбензоата Mn(II).

тельно-восстановительных реакциях: металл, отдавая 1 электрон, обеспечивает переход электрона, способствующего ускорению образования свободных радикалов, а бром в свою очередь ускоряет процесс передачи электрона. Воздействие двух образующихся ионов на процесс окисления УВ положительно сказывается на выходе конечных продук-

тов. В работе [14] предложен механизм совместного окислительного действия ион марганца и брома:

$$\begin{split} RH + Mn^{3+}Br^{-} &\to R^{\bullet} + HBr + Mn^{2+}; \\ R^{\bullet} + O_{2} &\to RO_{2}^{\bullet}; \\ RO_{2}^{\bullet} + Mn^{2+} &\to RO_{2}^{-} + Mn^{3+}; \\ RO_{2}^{-} + H^{+} &\to ROOH; \end{split}$$

150°C

116 АББАСОВ В. М. и др.

$$Mn^{3+} + Br^{-} \rightarrow Mn^{2+} + Br^{\bullet};$$
  
 $RH \xrightarrow{+Br^{\bullet}} R^{\bullet} \xrightarrow{+O_{2}} RO_{2}^{\bullet}.$ 

Ионы брома образуют с металлом комплекс  $(Me^{3+}\dots Br)$ , что способствует ускорению лимитирующей стадии процесса — переносу электрона от субстрата к иону металла, находящемуся в более высоком валентном состоянии  $Me^{3+}$ .

Полученные при окислении деароматизированного дистиллята синтетические нефтяные кислоты были изучены методами  $^1$ H ЯМР и ИК-спектроскопии. Спектр  $^1$ H ЯМР (рис. 5),  $\delta$ , м.д.:  $0.70{-}0.92$  (СН $_3$ ), 1.17 (СН $_2$ ),  $1.50{-}2.00$  (СН, СН $_2$  — нафтены),  $2.0{-}2.70$  (по отношению к СООН группе  $\alpha$ -СН $_2$ ),  $6.6{-}7.20$  (ар., следы), 10.90 (СООН). ИК-спектр синтезируемого СНК, v, см $^{-1}$ : 2952, 2923, 2855 с (СН), 3436 с (ОН), 1706 с (С=О), 1234, 1174 ср (С-О);  $\delta$ , см $^{-1}$ : 1457, 1412, 1377 ср (СН), 936 ср (ОН). Содержание, %: С 74.6; Н 10.6, О 14.8. Таким образом, была подтверждена возможность получения чистых синтетических нефтяных кислот описанным в работе способом.

#### ЗАКЛЮЧЕНИЕ

Показано, что жидкофазным окислением смеси нафтенопарафиновых углеводородов деароматизированного масляного дистиллята, используемого для получения трансформаторного масла марки Т-1500, кислородом воздуха в присутствии бромбензоатов Mn(II), Cr(III) и Co(II), можно получать смесь промышленно важных синтетических нефтяных кислот с приемлемым выходом. Определены оптимальные условия получения нефтяных кислот в присутствии наиболее активного катализатора бромбензоата  $Mn(\Pi)$ : длительность окисления должна при скорости подачи сырья 300 л/кг-ч и атмосферном давлении составлять 5 ч, концентрация катализатора 1 мас.%, температура 140°С. При таких условиях суммарный выход СНК составляет 46% в пересчете на исходное сырье. Непрореагировавший субстрат после отделения может быть повторно использован в процессе получения нефтяных кислот.

## БЛАГОДАРНОСТИ

Авторы благодарят сотрудника лаборатории «Жидкофазное окисление» Института нефтехимических процессов им. Ю. Г. Мамедалиева Министерства науки и образования Азербайджана А. А. Джафарову за помощь при подготовке статьи и ценные замечания.

#### ФИНАНСИРОВАНИЕ РАБОТЫ

Работа выполнена в Институте нефтехимических процессов им. Ю.Г. Мамедалиева Министерства науки и образования Азербайджана.

#### КОНФЛИКТ ИНТЕРЕСОВ

А. С. Лядов входит в состав редакционной коллегии журнала «Наногетерогенный катализ», у других авторов конфликт интересов, требующий раскрытия, отсутствует.

## ИНФОРМАЦИЯ ОБ АВТОРАХ

Аббасов Вагиф Магеррам оглы, академик ORCID: http://orcid.org/0000-0003-3822-6972

Эфендиева Лала Магоммед кызы, д.х.н., доцент

ORCID: http://orcid.org/0000-0002-1043-3446 Насибова Гюнай Гамбар кызы, к.х.н.

ORCID: http://orcid.org/0000-0002-6738-3195
Алиева Нушаба Муса кызы, к.х.н.

ORCID: https://orcid.org/0009-0008-1253-9819

*Ахмедбекова Саида Фуад кызы*, к.х.н. ORCID: https://orcid.org/0000-0003-1672-6394

*Черепнова Ютта Павловна*, к.х.н. ORCID: http://orcid.org//0000-0001-6590-4797

Мамедова Шафаг Разим кызы, н.с.

ORCID: http://orcid.org//0000-0003-0601-0229 *Лядов Антон Сергеевич*, к.х.н.

ORCID: https://orcid.org/0000-0001-9969-7706

## СПИСОК ЛИТЕРАТУРЫ

- 1. Hannes P.L. Gemoets, Yuanhai Su, Minjing Sh.V.H., Luque R., Noël T. Liquid phase oxidation chemistry in continuous-flow microreactors // Chem. Soc. Rev. 2016. V. 45. P. 83–117.
  - http://doi.org/10.1039/c5cs00447k
- Andreea C.G., Bernard E.N. Catalytic oxidation of saturated hydrocarbons on multicomponent Au/Al<sub>2</sub>O<sub>3</sub> catalysts // Catalysis Today. 2007. V. 119. N 1–4. P. 305–310. http://doi.org/10.1016/j.cattod.2006.08.034
- 3. *Naruyoshi Komiya, Shun-Ichi Murahashi*. Transition metal-catalyzed C–H oxidation of saturated hydrocarbons with molecular oxygen // Chem. Rec. 2021. V. 21. N 8. P. 1928–1940.
  - http://doi.org/10.1002/tcr.202100154
- 4. Sutradhar M., Alegria E.C.B.A., Guedes da Silva M.F.C., Cai-Ming Liu, Armando J.L.P. Peroxidative oxidation of alkanes and alcohols under mild conditions by di- and tetranuclear copper(11) complexes of bis (2-hydroxybenzylidene) isophthalohydrazide // Molecules. 2018. V. 23. N 10. P. 2699.
  - http://doi.org/10.3390/molecules2102699
- 5. Hermans I., Spier E.S., Neuenschwander U., Turra N., Baiker A. Selective Oxidation Catalysis Opportunities

- and Challenges // Topics in catalysis. 2009. V. 52. N 9. P. 1162-1174.
- http://doi.org/10.1007/s11244-009-9268-3
- Hosseinzadeh R., Mavvaji M., Tajbakhsh M., Lasemi Z., Aghili N. Selective Oxidation of Hydrocarbons and Alcohols Using Phen-MCM-41as an Efficient Co-Catalyst in Combination with NHPI-Based Nano-Magnetic Catalyst // New J. for Organic Synthesis. 2020. V. 52. N P. 99–109.
  - http://doi.org/10.1080/00304948.2020.1716434
- 7. Аббасов В.М., Зейналов Э.Б., Велиев М.Г., Мустафаев С.А., Мамедова Н.А., Эфендиева Л.М., Шахмамедова А.Г. Природные нефтяные кислоты и производные на их основе: происхождение, структура и свойства, синтетические и прикладные аспекты. Баку: Элм, 2014. 232 с.
- 8. Sadiyeva N.F., Nasibova G.G., Afandiyeva L.M., Cherepnova Y.P., Iskenderova S.A., Guliyeva E.M. Synthesis of cyclohexyl esters and fields of their application // Azerbaijan J. of Chemical New. 2023. V. 5. N 2. P. 4–12.
  - http://doi.org/10.32010/AJCN04022023-4
- Abbasov V.M., Aliyeva L.İ., Afandiyeva L.M., Ibrahimov H.J., Rustamliet G.Y. Aerobic oxidation of naphthene-paraffinic hydrocarbons of petroleum in the presence of γ-Al<sub>2</sub>O<sub>3</sub> modified by transition metals // PPOR. 2020. V. 21. N 1. P. 80–89.
- Zeynalov E.B., Allen N.S., Salmanova N., Vishnyakov V. Carbon nanotubes catalysis in liquid-phase aerobic oxidation of hydrocarbons: Influence of nanotube impurities // J. of Physics and Chemistry of Solids. 2019. V. 127. P. 245–251.
  - https://doi.org/10.1016/j.jpcs.2018.12.031
- 11. Suleymanova R.H., Zeynalov N.A., Badalova O.T., Qulubayova L.N., Guliyeva A.R., Mammadova U.A. Catalytic oxidation of oxygen containing aliphatic hydrocarbons in the presence of metalpolymer complexes // Chem. Problems. 2021. V. 19. N 2. P. 94–100. http://doi.org/10.32737/2221-8688-2021-2-94-100

- 12. Садиева Н.Ф., Насибова Г.Г., Искендерова С.А., Эфендиева Л.М., Черепнова Ю.П., Алиева С.Г., Мазамова Т.А. Синтез и исследование смешанных диэфиров синтетических нефтяных и жирных кислот // Журнал прикладной химии. 2023. Т. 96. № 4. С. 345—349 [Sadiyeva N.F., Nasibova G.G., Iskenderova S.A., Efendiyeva L.M., Cherepnova Yu. P., Aliyeva S.G., Mazamova T.A. Synthesis and Study of Mixed diesters of Synthetic Petroleum acids and Fatty Acids Russian // J. of Applied Chemistry. 2023. V. 96. N 4. P. 417—421. http://doi.org/10.1134/S1070427223040031].
- 13. Эфендиева Л.М., Агамалиева Д.Б., Рустамли Г.Ю., Бабанлы Н.Н., Насибова Г.Г., Ахмедбекова С.Ф., Аббасов В.М. Исследование бактерицид-ингибиторных свойств аминоэфиров, полученных на основе синтетических нефтяных кислот // Нефтепереработка и
- 14. *Потехин В.М., Потехин В.В.* Основы теории химических процессов технологии органических веществ и нефтепереработки. СПб: Химиздат, 2005. 344 с.

нефтехимия. 2020. № 8. С. 13-16.

- 15. Насибова Г.Г., Алиева А.З., Зейналов Э.Б., Нуриев Л.Г., Агаев Б.К. Получение синтетических нефтяных кислот в присутствии бромированного углеродного нанокатализатора // Азербайджанское нефтяное хозяйство. 2016. № 2. С. 50–52.
- 16. Zeynalov E.B., Friedrich J.F., Hidde G., Ibrahimov H.J., Nasibova G.G. Brominated carbon nanotubes as effective catalysts for petroleum hydrocarbons aerobic oxidation // Erdöl Erdgaz Kohle. 2012. V. 38. N 1. P. 45–48.
- Suresh A.K., Sharma M.M., Sridhar T. Engineering Aspects of Industrial Liquid-Phase Air Oxidation of Hydrocarbons // Industrial & Engineering Chem. Research. 2000. V. 39. N 11. P. 3958–3997. https://doi.org/10.1021/ie0002733
- 18. Industrial Organic Chemistry, 5th Edition. Hans-Jürgen Arpe, Stephen Hawkins (Translator). Wiley. 2010. ISBN: 978-3-527-32002-8. 525 pp.